

ЧИСЛЕННОЕ РЕШЕНИЕ ЗАДАЧИ О ГАШЕНИИ КОЛЕБАНИЙ  
ДВИЖУЩЕГОСЯ ПОЛОТНА© 2021 г. И. Е. Михайлов<sup>1,\*</sup>, И. А. Суворов<sup>2,\*\*</sup><sup>1</sup> 119333 Москва, ул. Вавилова, 44/2, ФИЦ ИУ РАН, Россия<sup>2</sup> 125993 Москва, Волоколамское ш., 4, МАИ НИУ, Россия

\*e-mail: mikh\_igor@mail.ru

\*\*e-mail: ivan.a.suv@gmail.com

Поступила в редакцию 06.12.2019 г.  
Переработанный вариант 13.06.2020 г.  
Принята к публикации 18.09.2020 г.

Моделируются механические процессы, происходящие при производстве бумаги. В бумагоделательной машине бумага перемещается в виде тонкого листа. Характерная толщина листа варьируется от 0.1 мм (офисная бумага) до 1 мм (картон). Все бумагоделательные машины содержат открытые участки полотна, где бумажное полотно проходит без механической поддержки во время движения от одного опорного ролика к другому. В это время оно может потерять стабильность, начать совершать поперечные колебания и в итоге порваться. Рассматривается возможность уменьшить эти колебания с помощью различных управляющих актюаторов. Поперечные колебания движущегося полотна с ненулевой изгибной жесткостью моделируются с помощью неоднородного дифференциального уравнения в частных производных четвертого порядка. Воздействие управляющих актюаторов моделируется функцией в правой части уравнения. Предполагается, что амплитуда колебаний одинакова в поперечном сечении движущегося полотна. Задача гашения колебаний сводится к минимизации некоторой функции многих переменных. Решение задачи разбивается на два этапа: решение начально-краевой задачи с заданным управлением и минимизация некоторой функции многих переменных. Для решения начально-краевой задачи предлагается численный метод. Дифференциальное уравнение четвертого порядка сводится к системе двух дифференциальных уравнений второго порядка. Далее делается замена искомым функций, позволяющая упростить эти уравнения. Получившиеся уравнения аппроксимируются конечно-разностной схемой, для которой показана ее абсолютная устойчивость. Эта разностная схема решается с помощью матричной прогонки. Для минимизации функции многих переменных используется метод Хука–Дживса. Приводятся примеры расчетов для трех типов актюаторов: точечного, действующего на участке полотна и действующего на всем протяжении полотна. Библ. 5. Фиг. 12.

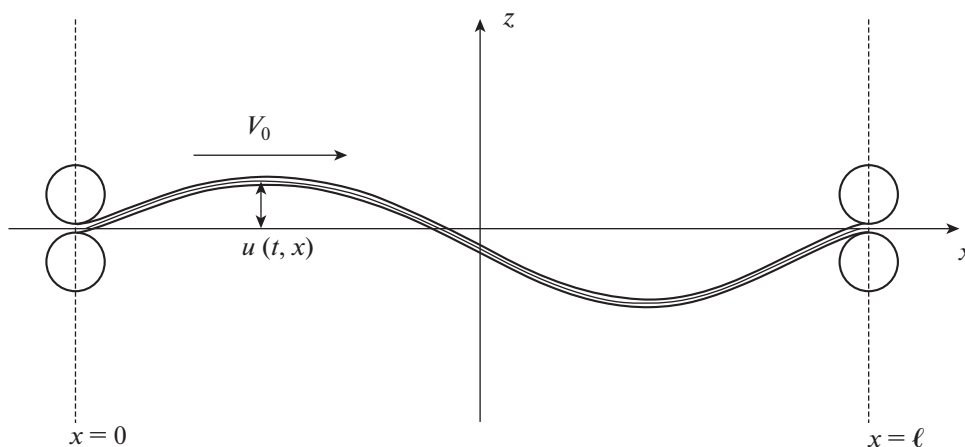
**Ключевые слова:** движущееся полотно, гашение колебаний, актюаторы, метод оптимизации Хука–Дживса.

DOI: 10.31857/S004446692012011X

## 1. ПОСТАНОВКА ЗАДАЧИ

Целью данной работы является разработка численных методов решения задачи гашения вынужденных поперечных колебаний  $u(t, x)$  движущегося с постоянной скоростью  $V_0$  полотна толщиной  $H$  с помощью различных видов актюаторов (фиг. 1). Предполагается, что амплитуда этих колебаний одинакова в направлении ширины полотна. Поперечные колебания движущегося полотна с заданной изгибной жесткостью под действием внешнего управления  $g(t, x)$  описываются уравнением (см. [1], [2])

$$u_{tt} + 2V_0 u_{tx} + (V_0^2 - c^2) u_{xx} + Du_{xxxx} = g(t, x), \quad (t, x) \in \Pi = \{0 \leq x \leq l, 0 \leq t \leq T\}, \quad (1)$$



Фиг. 1. Движущееся между роликами бумажное полотно.

где  $c$  – скорость распространения возмущений вдоль полотна. Время  $t$  и линейный размер  $x$  отнесены к характерным величинам  $t^*$  и  $x^*$ . Член  $Du_{xxxx}$  представляет собой силу реакции, возникающую из-за сопротивления изгибу. Константа  $D$  называется изгибной жесткостью и равна

$$D = \frac{EH^3}{12(1-\nu^2)},$$

где  $E$  – модуль Юнга,  $\nu$  – коэффициент Пуассона.

Начальные отклонение и скорость поперечного перемещения полотна

$$\begin{aligned} u(0, x) &= \varphi(x), \\ u_t(0, x) &= \psi(x) \end{aligned} \tag{2}$$

мы будем рассматривать как заданные начальные возмущения.

В качестве граничных условий при  $x = 0$  и  $x = l$  возьмем условия шарнирного закрепления

$$\begin{aligned} u(t, 0) = u(t, l) &= 0, \\ u_{xx}(t, 0) = u_{xx}(t, l) &= 0. \end{aligned} \tag{3}$$

Ставится следующая задача гашения: найти функцию  $g(t, x)$  и время  $T$  такие, чтобы

$$\begin{aligned} u(T, x) &= 0, \\ u_t(T, x) &= 0. \end{aligned}$$

Отметим, что эти условия эквивалентны условию

$$J(T) = \int_0^l (u^2(T, x) + u_t^2(T, x)) dx = 0. \tag{4}$$

## 2. ГАШЕНИЕ КОЛЕБАНИЙ И МОДЕЛИ АКТЮАТОРОВ

Для гашения колебаний мы будем использовать модели актюаторов различных видов, при этом функция  $g(t, x)$  будет определяться видом актюатора.

1. Модель точечного актюатора:

$$g(t, x) = s(t)\delta(x - x_0), \tag{5}$$

где  $x_0$  – точка приложения актюатора,  $s(t)$  – управляющая функция,  $\delta$  – дельта-функция Дирака, определенная в [3].

2. Модель актюатора конечной ширины  $[x_0, x_1] \subset [0, l]$ :

$$g(t, x) = s(t) \begin{cases} 1, & x \in [x_0, x_1], \\ 0, & x \notin [x_0, x_1]. \end{cases} \quad (6)$$

3. Модель актюатора, действующего одинаково по всей длине полотна:

$$g(t, x) = s(t). \quad (7)$$

Во всех трех моделях на управляющую функцию  $s(t)$  могут быть наложены ограничения  $s_{\min} \leq s(t) \leq s_{\max}$ , где  $s_{\min}, s_{\max}$  – заданные константы.

### 3. ЧИСЛЕННЫЙ МЕТОД РЕШЕНИЯ НАЧАЛЬНО-КРАЕВОЙ ЗАДАЧИ (1)–(3)

Введем новую вспомогательную функцию  $v(t, x)$  такую, чтобы уравнение (1) можно было представить в виде двух уравнений второго порядка:

$$\begin{aligned} u_t &= v_{xx} - 2V_0 u_x, \\ v_t &= -Du_{xx} - (V_0^2 - c^2)u + f(t, x). \end{aligned} \quad (8)$$

Найдем вид функции  $f(t, x)$ , при которой система (8) была бы эквивалентна (1) при достаточной гладкости функций  $u(t, x)$  и  $v(t, x)$ . Продифференцируем первое уравнение по  $t$ , а второе дважды по  $x$ :

$$\begin{aligned} u_{tt} &= v_{txx} - 2V_0 u_{tx}, \\ v_{txx} &= -Du_{xxx} - (V_0^2 - c^2)u_{xx} + f_{xx}(t, x), \end{aligned} \quad (9)$$

откуда

$$u_{tt} + 2V_0 u_{tx} + (V_0^2 - c^2)u_{xx} + Du_{xxx} = f_{xx}(t, x).$$

Сравнивая это равенство с (1), получаем

$$f_{xx}(t, x) = g(t, x).$$

Дважды проинтегрировав левую и правую части равенства по  $x$ , найдем выражение для  $f(t, x)$ :

$$f(t, x) = \int_0^x \left[ \int_0^\eta g(t, \xi) d\xi \right] d\eta + k_1(t)x + k_2(t),$$

где  $k_1(t)$  и  $k_2(t)$  – произвольные функции.

Получим начальные условия для системы (8). Подставив второе начальное условие  $u_t(0, x) = \psi(x)$  из (2) в первое уравнение (8), получим

$$u_t(0, x) = (v_{xx} - 2V_0 u_x)|_{(0, x)} = \psi(x).$$

Откуда выражение для  $v_{xx}$  примет вид

$$v_{xx}(0, x) = 2V_0 u_x(0, x) + \psi(x).$$

Дважды проинтегрируем это выражение по  $x$  и получим выражение для  $v(0, x)$ :

$$v(0, x) = \Phi(x) + c_1 x + c_2.$$

Здесь  $c_1, c_2$  – произвольные константы интегрирования, а функция  $\Phi(x)$ :

$$\Phi(x) = 2V_0 \int_0^x \varphi(x) dx + \int_0^x \left[ \int_0^\eta \psi(\xi) d\xi \right] d\eta.$$

В итоге начальные условия для системы (8) примут следующий вид:

$$\begin{aligned} u(0, x) &= \varphi(x), \\ v(0, x) &= \Phi(x) + c_1 x + c_2. \end{aligned}$$

Найдем новые граничные условия для системы (8).

Граничные условия для  $u(t, x)$  будут такими

$$u(t, 0) = u(t, l) = 0.$$

Найдем  $v(t, 0)$ . Приняв во внимание, что  $u(t, 0) = 0$  и  $u_{xx}(t, 0) = 0$  из (3), и подставив эти значения во второе уравнение системы (8), получим

$$u_{xx}(t, 0) = \frac{1}{D}[-v_t - (V_0^2 - c^2)u + f] \Big|_{(t,0)} = \frac{1}{D}[f - v_t] \Big|_{(t,0)} = 0.$$

Откуда

$$v_t(t, 0) = f(t, 0) = k_2(t),$$

$$v(t, 0) = \int_0^t k_2(t)dt + c_3,$$

где  $c_3$  – произвольная константа интегрирования. Сравнивая начальное условие и левое граничное условие для функции  $v$  в точке  $(0, 0)$ , получаем  $c_2 = c_3$ .

Найдем теперь  $v(t, l)$ . Подставим во второе уравнение системы (8) значения  $u(t, l)$  и  $u_{xx}(t, l)$  из (3), имеем:

$$u_{xx}(t, l) = \frac{1}{D}[-v_t - (V_0^2 - c^2)u + f]_{(t,l)} = \frac{1}{D}[f - v_t]_{(t,l)} = 0,$$

$$v_t(t, l) = f(t, l) = \int_0^l \left[ \int_0^x g(t, \xi) d\xi \right] dx + k_1(t)l + k_2(t),$$

$$v(t, l) = \int_0^t \left[ \int_0^l \left[ \int_0^x g(t, \xi) d\xi \right] dx \right] dt + l \int_0^t k_1(t)dt + \int_0^t k_2(t)dt + c_4,$$

где  $c_4$  – произвольная константа интегрирования. Сравнивая начальное условие и правое граничное условие для функции  $v$  в точке  $(0, l)$ , получаем  $c_4 = \Phi(l) + c_1l$ .

Подберем теперь произвольные функции  $k_1(t)$ ,  $k_2(t)$  и константы  $c_1$ ,  $c_2$  так, чтобы для любого  $t \in [0, T]$  граничные условия для функции  $v(t, x)$  имели бы наиболее простой вид, а именно, равнялись нулю:

$$v(t, 0) = v(t, l) \equiv 0.$$

Положим  $k_2(t) \equiv 0$ ,  $c_2 = c_3 = 0$ , тогда  $v(t, 0) \equiv 0$  для всех  $t \geq 0$ .

Положим теперь

$$k_1(t) = -\frac{1}{l} \int_0^l \left[ \int_0^x g(t, \xi) d\xi \right] dx, \quad c_1 = -\frac{1}{l} \Phi(l),$$

тогда  $v(t, l) \equiv 0$  для всех  $t \geq 0$ .

Тогда выражение для  $f(t, x)$  примет вид

$$f(t, x) = \int_0^x \left[ \int_0^\eta g(t, \xi) d\xi \right] d\eta - \frac{x}{l} \int_0^l \left[ \int_0^\eta g(t, \xi) d\xi \right] d\eta.$$

Начальные условия для системы (8) переписутся в виде

$$u(0, x) = \varphi(x),$$

$$v(0, x) = \Phi(x) - \frac{x}{l} \Phi(l). \tag{10}$$

Граничные условия имеют следующий вид:

$$u(t, 0) = 0, \quad u(t, l) = 0, \quad v(t, 0) = 0, \quad v(t, l) = 0. \tag{11}$$

Запишем систему (8) в матричном виде

$$\begin{pmatrix} u \\ v \end{pmatrix}_t = \begin{pmatrix} 0 & 1 \\ -D & 0 \end{pmatrix} \begin{pmatrix} u \\ v \end{pmatrix}_{xx} + \begin{pmatrix} -2V_0 & 0 \\ 0 & 0 \end{pmatrix} \begin{pmatrix} u \\ v \end{pmatrix}_x + \begin{pmatrix} 0 & 0 \\ c^2 - V_0^2 & 0 \end{pmatrix} \begin{pmatrix} u \\ v \end{pmatrix} + \begin{pmatrix} 0 \\ f \end{pmatrix}$$

или

$$W_t = AW_{xx} + BW_x + C + F, \quad (12)$$

где

$$W = \begin{pmatrix} u \\ v \end{pmatrix}, \quad A = \begin{pmatrix} 0 & 1 \\ -D & 0 \end{pmatrix}, \quad B = \begin{pmatrix} -2V_0 & 0 \\ 0 & 0 \end{pmatrix}, \quad C = \begin{pmatrix} 0 & 0 \\ c^2 - V_0^2 & 0 \end{pmatrix}, \quad F = \begin{pmatrix} 0 \\ f \end{pmatrix}.$$

Сделаем замену исходной функции  $W = \mathcal{A}\hat{W}$ , где  $\mathcal{A} = \begin{pmatrix} 1 & 0 \\ \alpha(t, x) & 1 \end{pmatrix}$ ,  $\alpha(t, x) = V_0x + (c^2 - V_0^2)t$ , а  $\hat{W} = \begin{pmatrix} \hat{u} \\ \hat{v} \end{pmatrix}$  – новая искомая вектор-функция.

В итоге, уравнение (12) для новой вектор-функции  $\hat{W}$  примет вид:

$$\hat{W}_t = \begin{pmatrix} \alpha & 1 \\ -D - \alpha^2 & -\alpha \end{pmatrix} \hat{W}_{xx} + \begin{pmatrix} 0 \\ f \end{pmatrix}. \quad (13)$$

Теперь для новой вектор-функции  $\hat{W}$  запишем начальные условия

$$\begin{aligned} \hat{u}(0, x) &= \varphi(x), \\ \hat{v}(0, x) &= \Phi(x) - \frac{x}{l}\Phi(l) - V_0x\varphi(x). \end{aligned} \quad (14)$$

Граничные условия примут вид

$$\hat{u}(t, 0) = 0, \quad \hat{u}(t, l) = 0, \quad \hat{v}(t, 0) = 0, \quad \hat{v}(t, l) = 0. \quad (15)$$

Построим разностную схему для численного решения (13). Зададим натуральные числа  $M, N$  и разобьем рассматриваемую область  $\{0 \leq t \leq T, 0 \leq x \leq l\}$  на прямоугольные ячейки параллельными прямыми  $x_m = mh, m = 0, 1, \dots, M, t_n = n\tau, n = 0, 1, \dots, N$ , где  $h = \frac{l}{M}, \tau = \frac{T}{N}$ .

Рассмотрим шаблон, на котором уравнение (13) аппроксимируем конечно-разностной схемой

$$\frac{\hat{W}_m^{n+1} - \hat{W}_m^n}{\tau} = \begin{pmatrix} \alpha & 1 \\ -D - \alpha^2 & -\alpha \end{pmatrix} \frac{\hat{W}_{m+1}^{n+1} - 2\hat{W}_m^{n+1} + \hat{W}_{m-1}^{n+1}}{h^2} + \begin{pmatrix} 0 \\ f \end{pmatrix}. \quad (16)$$

Покажем, что эта разностная схема абсолютно устойчива по Нейману. Будем искать решение однородного уравнения в виде

$$\hat{W}_m^n = \lambda^n e^{ipm} W_0,$$

где  $W_0 \neq 0, p$  – действительное число,  $i$  – мнимая единица.

Тогда имеем

$$\frac{\lambda - 1}{\tau} W_0 = \begin{pmatrix} \alpha & 1 \\ -D - \alpha^2 & -\alpha \end{pmatrix} \frac{e^{ip} - 2 + e^{-ip}}{h^2} \lambda W_0,$$

или

$$\left( (\lambda - 1)E - S \begin{pmatrix} \alpha & 1 \\ -D - \alpha^2 & -\alpha \end{pmatrix} \left( -4\lambda \left( \sin \frac{p}{2} \right)^2 \right) \right) W_0 = 0,$$

где  $S = \frac{\tau}{h^2}$ .

Таблица 1

T	Аналитическое решение	Численные решения			
		M = 10	M = 20	M = 40	M = 80
1	0.67277	0.6754	0.6717	0.6728	0.6731
2	-0.094749	-0.09466	-0.09384	-0.09499	-0.09483
5	-0.52113	-0.5219	-0.5240	-0.5218	-0.5217
10	-0.45686	-0.4594	-0.4539	-0.4561	-0.4567

Эта система имеет нетривиальное решение, если

$$\begin{aligned} & \left| \begin{matrix} \lambda - 1 + 4\alpha S\lambda \left(\sin \frac{p}{2}\right)^2 & 4S\lambda \left(\sin \frac{p}{2}\right)^2 \\ -4S\lambda(-D - \alpha^2) \left(\sin \frac{p}{2}\right)^2 & \lambda - 1 - 4\alpha S\lambda \left(\sin \frac{p}{2}\right)^2 \end{matrix} \right| = \\ & = (\lambda - 1)^2 - 16\alpha^2 S^2 \lambda^2 \left(\sin \frac{p}{2}\right)^4 + 16S^2 \lambda^2 (D + \alpha^2) \left(\sin \frac{p}{2}\right)^4 = 0, \\ & (\lambda - 1)^2 + 16S^2 \lambda^2 D \left(\sin \frac{p}{2}\right)^4 = 0. \end{aligned}$$

Пусть

$$\begin{aligned} \beta^2 &= 16S^2 D \left(\sin \frac{p}{2}\right)^4, \quad (\lambda - 1)^2 + \beta^2 \lambda^2 = 0, \quad \lambda = \pm \beta \lambda i + 1, \quad \lambda(1 \mp \beta i) = 1, \\ \lambda &= \frac{1}{1 \mp \beta i} = \frac{1 \pm \beta i}{1 + \beta^2} = \frac{1}{1 + \beta^2} \pm \frac{\beta}{1 + \beta^2} i, \quad |\lambda| = \sqrt{\frac{1}{(1 + \beta^2)^2} + \frac{\beta^2}{(1 + \beta^2)^2}} = \sqrt{\frac{1}{1 + \beta^2}} \leq 1, \end{aligned}$$

т.е. схема абсолютно устойчива при любых  $\beta$ . Будем ее решать с помощью матричной прогонки.

Сравним аналитическое решение задачи (1)–(3) с численным решением задачи (18)–(20). При

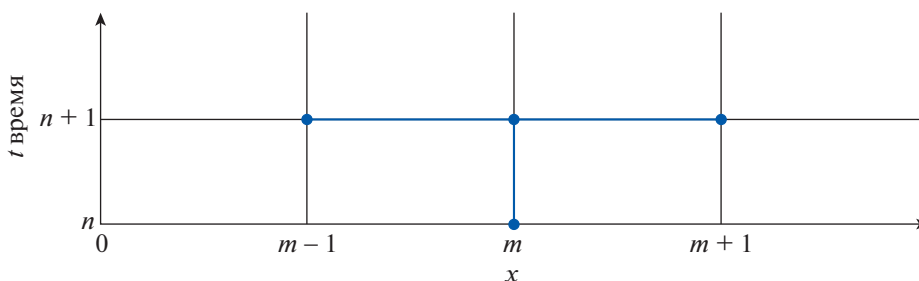
$$g(t, x) = -2V_0 \frac{\pi}{l} \omega \sin(\omega t) \cos \frac{\pi x}{l},$$

где

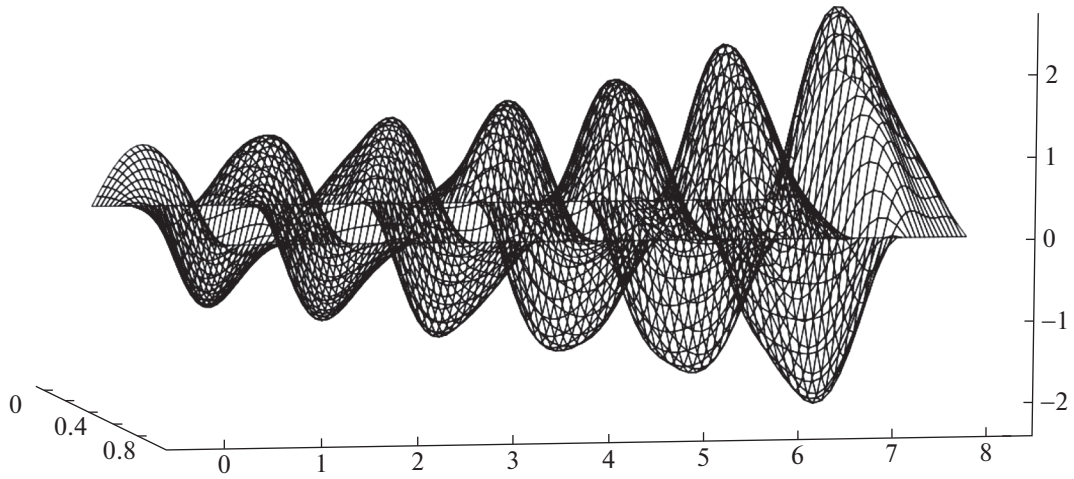
$$\omega = \frac{\pi}{l} \sqrt{(c^2 - V_0^2) + D \frac{\pi^2}{l^2}}, \quad \varphi(x) = \sin \frac{\pi x}{l}, \quad \psi(x) = 0$$

и условиях (3) аналитическим решением задачи (1)–(3) является функция  $u(t, x) = \cos(\omega t) \sin \frac{\pi x}{l}$ .

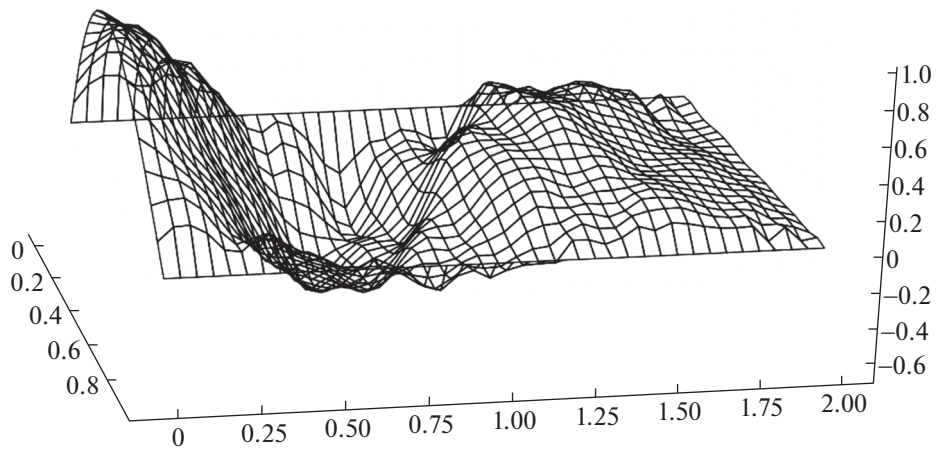
В табл. 1 при  $V_0 = 1, c = 2, D = 0.005, l = 1$  приведены аналитическое решение и расчетные решения задачи (18)–(20) в точке  $x = 0.5$  при различных T и шагах сетки  $M \times N$ . При этом число узловых точек по времени  $N = 2MT$ .



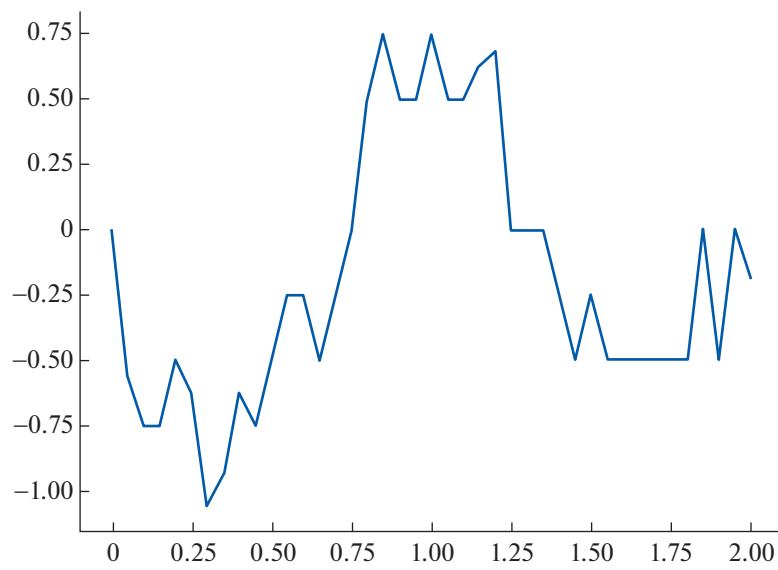
Фиг. 2.



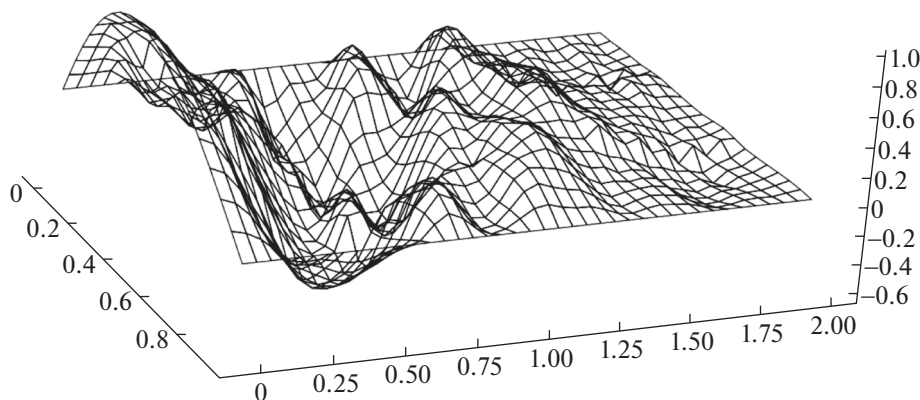
Фиг. 3.



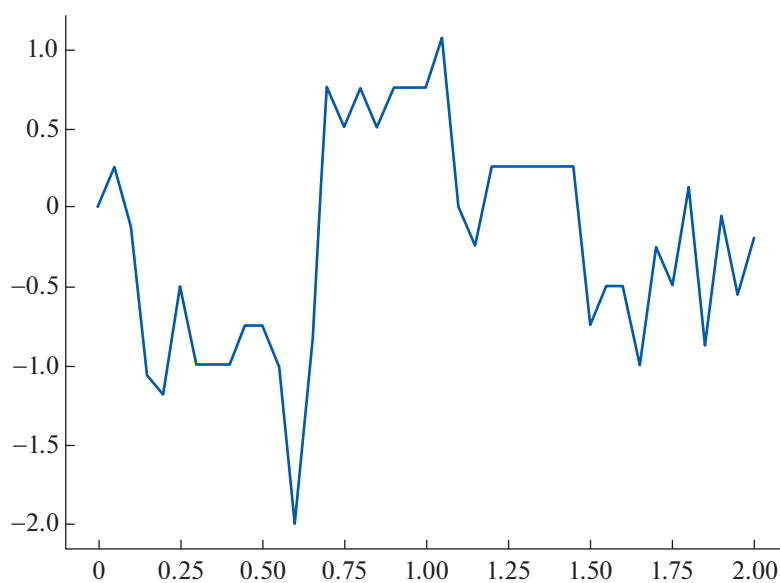
Фиг. 4.



Фиг. 5.



Фиг. 6.



Фиг. 7.

Таким образом, мы видим сходимость предложенного метода с уменьшением шагов сетки и хорошее совпадение с аналитическим решением.

#### 4. ЧИСЛЕННОЕ РЕШЕНИЕ ЗАДАЧИ ГАШЕНИЯ КОЛЕБАНИЙ

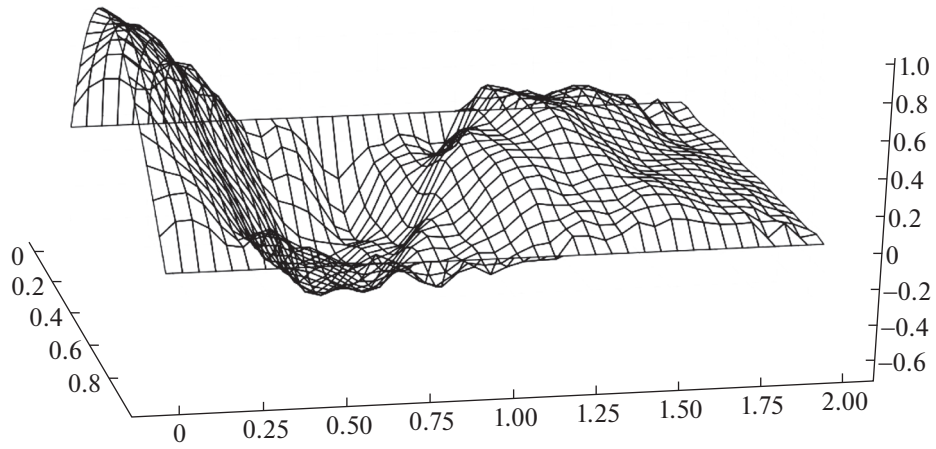
Отметим, что из условия (4) следует условие

$$J(T) = \int_0^l (\hat{u}^2(T, x) + \hat{u}_t^2(T, x)) dx = 0. \tag{17}$$

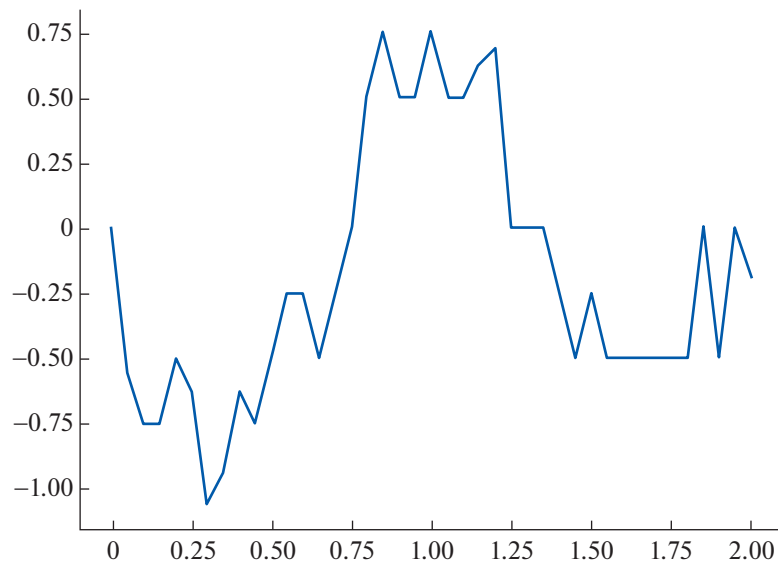
Для рассматриваемых моделей актюаторов (5)–(7) функция  $f(t, x)$  записывается в следующих видах.

1. Модель точечного актюатора (5):

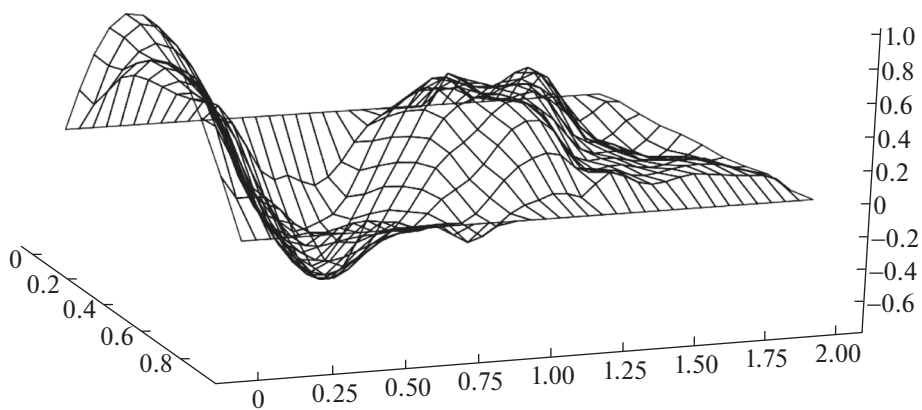
$$f(t, x) = s(t) \begin{cases} -\frac{x}{l}(l - x_0), & x < x_0, \\ (x - x_0) - \frac{x}{l}(l - x_0), & x \geq x_0. \end{cases}$$



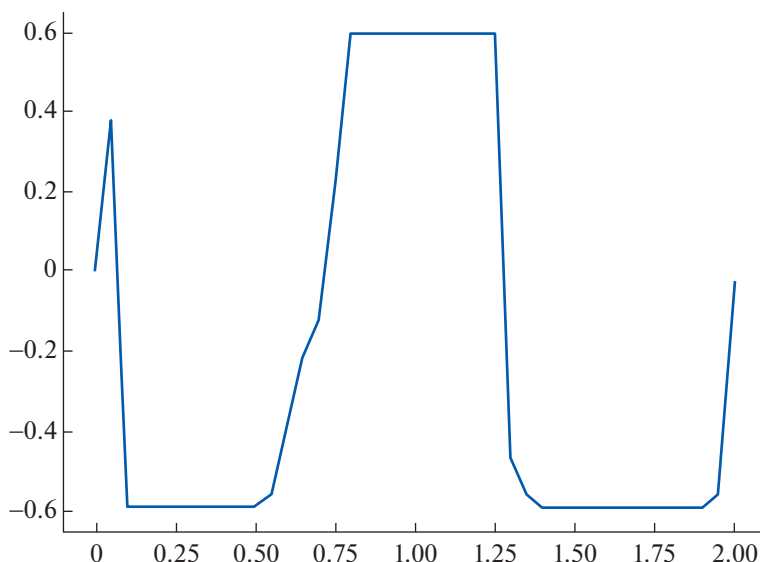
Фиг. 8.



Фиг. 9.



Фиг. 10.



Фиг. 11.

2. Модель актюатора конечной ширины  $[x_0, x_1]$  (6):

$$f(t, x) = s(t) \begin{cases} -\frac{x}{l}(x_1 - x_0) \left( l - \frac{x_0 + x_1}{2} \right), & x < x_0, \\ \frac{(x - x_0)^2}{2} - \frac{x}{l}(x_1 - x_0) \left( l - \frac{x_0 + x_1}{2} \right), & x_0 \leq x \leq x_1, \\ \left( \frac{x}{l} - 1 \right) \frac{x_1^2 - x_0^2}{2}, & x_1 < x. \end{cases}$$

3. Модель актюатора, действующего одинаково вдоль всего полотна (7):

$$f(t, x) = s(t) \frac{x(x - l)}{2}.$$

Функцию  $s(t)$  на отрезке  $[0, T]$  аппроксимируем ломаной, соединяющей соседние точки  $(t_n, s_n), (t_{n+1}, s_{n+1}), n = 0, 1, \dots, N - 1$ , прямыми, где  $s_0, \dots, s_N$  – неизвестные пока постоянные.

Константы  $s_0, \dots, s_N$  будем искать, минимизируя функцию многих переменных:

$$J(s_0, \dots, s_N) = h \sum_{m=1}^{M-1} \left[ (\hat{u}_m^N)^2 + \left( \frac{\hat{u}_m^N - \hat{u}_m^{N-1}}{\tau} \right)^2 \right], \tag{18}$$

представляющую собой квадратурную формулу трапеций для интеграла (17) с учетом граничных условий (15). Для минимизации будем использовать метод Хука–Дживса (см. [4]).

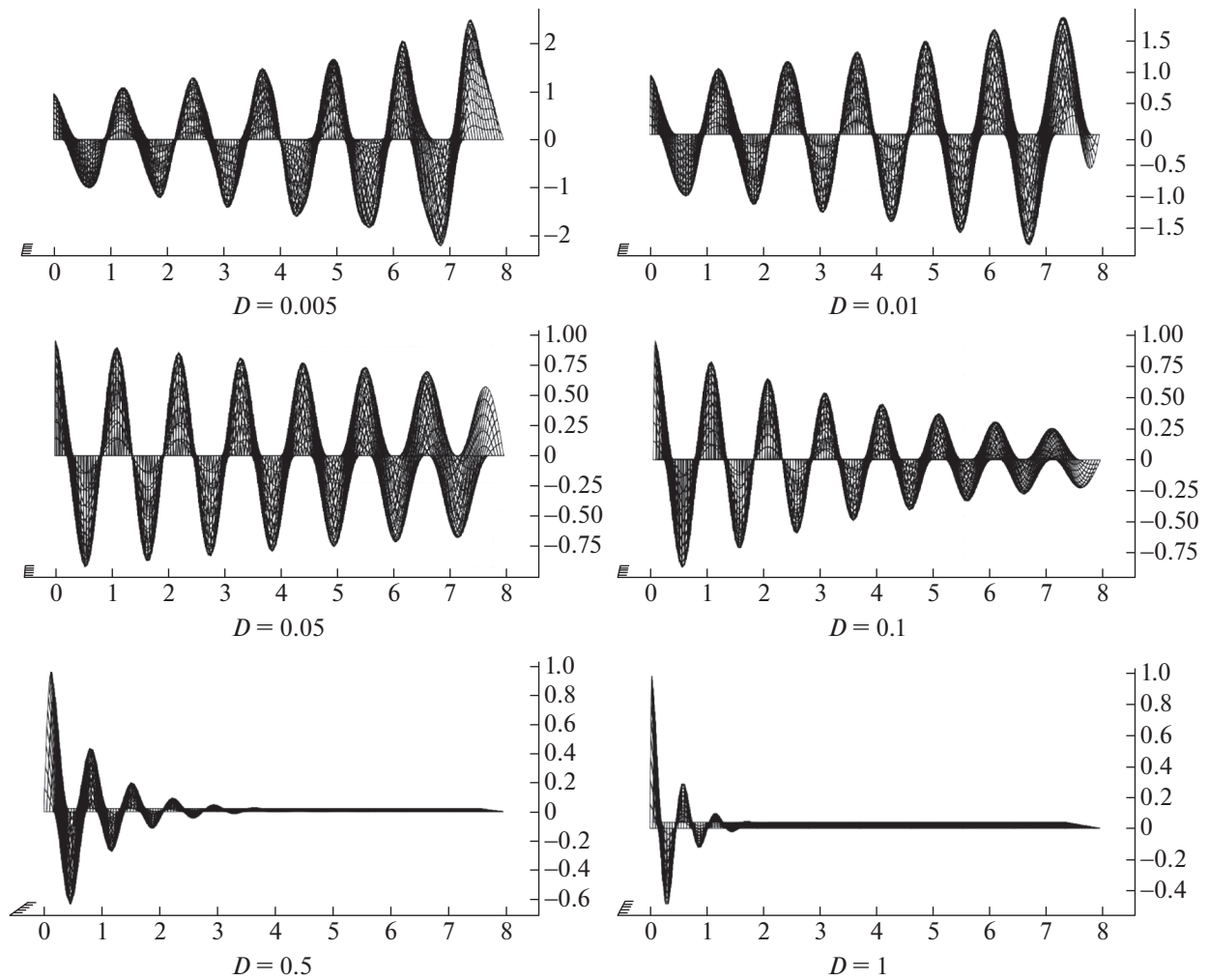
### 5. ПРИМЕРЫ

Во всех описанных ниже примерах время  $T$  будем выбирать так, чтобы гарантировать выполнение условия  $J(s_0, \dots, s_N) < \epsilon$ , где  $\epsilon$  полагалось равным 0.001.

**Пример 1.** Рассмотрим свободные колебания движущегося полотна ( $g(t, x) = 0$ ) с начальными условиями  $\varphi(x) = \sin(\pi x), \psi(x) = 0$ . Значения входных данных:  $V_0 = 1, c = 2, D = 0.005, l = 1, T = 8, M = 20, N = 160$ .

На фиг. 3 видно, что максимальная амплитуда колебаний полотна с течением времени возрастает.

**Пример 2.** Рассмотрим теперь задачу гашения колебаний с использованием точечного актюатора (5), помещенного в точку  $x_0 = 0.5$ . Начальные условия и значения входных данных совпа-



Фиг. 12.

дают со значениями из примера 1,  $T = 2$ . На фиг. 4 показан процесс гашения колебаний с помощью управляющей функции  $s(t)$ , изображенной на фиг. 5.

**Пример 3.** Погасим начальные колебания  $\varphi(x) = \sin(\pi x)$ ,  $\psi(x) = 0$  с помощью узкого актюатора (6) с  $x_0 = 0.3$ ,  $x_1 = 0.6$ . Значения входных данных совпадают со значениями из примера 1,  $T = 2$ . На фиг. 6 показан процесс гашения колебаний с помощью управляющей функции  $s(t)$ , изображенной на фиг. 7.

**Пример 4.** Погасим колебания с помощью актюатора (7), действующего на протяжении всего полотна. Значения всех параметров совпадают со значениями из примера 1,  $T = 2$ . На фиг. 8 показан процесс гашения колебаний с помощью управляющей функции  $s(t)$ , изображенной на фиг. 9.

**Пример 5.** Будем использовать актюатор (7) и установим ограничения на управляющую функцию  $s_{\min} = -0.6$ ,  $s_{\max} = 0.6$ ,  $T = 2$ . На фиг. 10 и 11 изображены процесс гашения  $u(t, x)$  и управляющая функция  $s(t)$  соответственно.

В [5] с использованием принципа максимума Понтрягина было показано, что при гашении с помощью актюатора (7) с ограничениями  $s_{\min} \leq s(t) \leq s_{\max}$  значение управляющей функции может частично совпадать с граничными значениями  $s_{\min}$ ,  $s_{\max}$ . Фиг. 11 подтверждает этот вывод.

**Пример 6.** Рассмотрим влияние параметра  $D$  на свободные колебания  $u(t, x)$  ( $g(t, x) = 0$ ) (фиг. 12). Все входные данные взяты из примера 1.

Как мы видим, при малых  $D$  свободные колебания возрастают с течением времени, а при увеличении  $D$ , начиная с некоторого значения, затухают сами собой.

#### СПИСОК ЛИТЕРАТУРЫ

1. *Jeronen J.* On the Mechanical Stability and Out-of-Plane Dynamics of a Travelling Panel Submerged in Axially Flowing Ideal Fluid. Univer. Jyväskylä, 2011. 243 p.
2. *Banichuk N., Barsuk A., Jeronen J., Tuovinen T., Neittaanmäki P.* Stability of Axially Moving Materials. Solid Mechanics and Its Applications. V. 259. Springer, Cham, 2020. 642 p.
3. *Владимиров В.С., Жаринов В.В.* Уравнения математической физики. М.: ФИЗМАТЛИТ, 2004. 400 с.
4. *Hooke R., Jeeves T.A.* Direct Search Solution of Numerical and Statistical Problems // J. of the ACM (JACM). 1961. V. 8. Issue 2. P. 212–229.
5. *Banichuk N., Petrov V., Sinitsyn A., Neittaanmäki P., Tuovinen T.* On the Optimality Conditions for Suppression of Vibration of Axially Moving Materials.: Rep. Depart. Math. Inform. Technolgy. Ser. B. Sci. Comp. No. B 13120L6. P. 1–19. Univer. Jyvaskyla, 2016.